

УДК [612.223.12: 612.127.2]-092.4
DOI: 10.24884/1682-6655-2021-20-3-70-76

В. В. ЗИНЧУК, Е. С. БИЛЕЦКАЯ

Особенности влияния озона на кислородзависимые процессы крови при гипоксических условиях

Учреждение образования «Гродненский государственный медицинский университет», г. Гродно, Республика Беларусь
230009, Республика Беларусь, г. Гродно, ул. Горького, д. 80
E-mail: zinchuk@grsmu.by

Статья поступила в редакцию 15.02.21 г.; принята к печати 16.07.21 г.

Резюме

Введение. Озон является физиологическим фактором, который способен изменять сродство гемоглобина к кислороду и образование газотрансмиттеров (NO , H_2S). Цель – изучение эффектов озона на кислородзависимые процессы крови в гипоксических условиях в опытах *in vitro* при введении доноров газотрансмиттеров. **Материалы и методы.** Образцы крови разделяли на 6 групп по 3 мл. Группы 2, 4, 5, 6 подвергались предварительной обработке дезоксигенирующей газовой смесью (5,5 % CO_2 ; 94,5 % N_2). В 3, 4, 5, 6 группы добавляли озонированный изотонический раствор хлорида натрия (с концентрацией озона 6 мг/л), а в группы 5 и 6 дополнительно вводили доноры газотрансмиттеров – нитроглицерин и гидросульфид натрия соответственно. **Результаты.** Предварительная дезоксигенация ослабляет влияние озона на кислородтранспортную функцию крови. Нитроглицерин препятствует проявлению данного эффекта. Действие озона в гипоксических условиях приводит к росту содержания $\text{NO}_3^-/\text{NO}_2^-$ и H_2S , а добавление нитроглицерина и гидросульфида натрия увеличивают эти показатели. Дезоксигенация под влиянием озона приводит к уменьшению показателей перекисного окисления липидов (малоновый диальдегид, диеновые конъюгаты), а также снижению ретинола и α -токоферола, в том числе в группе с нитроглицерином. **Заключение.** В гипоксических условиях наблюдается уменьшение эффекта озона на кислородзависимые процессы. Нитроглицерин снижает его проявление, а гидросульфид натрия подобного действия не оказывает.

Ключевые слова: озон, эритроциты, микроциркуляция, газотрансмиттер,monoоксид азота, сероводород, гипоксия

Для цитирования: Зинчук В. В., Билецкая Е. С. Особенности влияния озона на кислородзависимые процессы крови при гипоксических условиях. Регионарное кровообращение и микроциркуляция. 2021;20(3):70–76. Doi: 10.24884/1682-6655-2021-20-3-70-76.

UDC [612.223.12: 612.127.2]-092.4
DOI: 10.24884/1682-6655-2021-20-3-70-76

V. V. ZINCHUK, E. S. BILETSKAYA

Features of ozone effect on oxygen-dependent processes in the blood under hypoxic conditions

Grodno State Medical University, Grodno, Republic of Belarus
80, street Gorky, Grodno, Republic of Belarus, 230009
E-mail: zinchuk@grsmu.by

Received 15.02.21; accepted 16.07.21

Summary

Introduction. Ozone is a physiological factor that can change hemoglobin oxygen affinity and the formation of gaseous transmitters (NO , H_2S). The aim is to study the effect of ozone with gaseous transmitters donors on oxygen-dependent processes in the blood under hypoxic conditions *in vitro*. **Materials and methods.** Blood samples were divided into 6 groups of 3 ml each. Groups 2, 4, 5, 6 were pretreated with a deoxygenating gas mixture (5,5 % CO_2 ; 94,5 % N_2). In groups 3, 4, 5, 6, ozonized isotonic sodium chloride solution (with an ozone concentration of 6 mg/l) was added, and in groups 5 and 6, the donors of gas transmitters nitroglycerin and sodium hydrosulfide, respectively, were additionally introduced. **Results.** Pre-deoxygenation reduces the effect of ozone on oxygen transport in the blood. Nitroglycerin prevents this effect. The action of ozone under hypoxic conditions leads to an increase of content of $\text{NO}_3^-/\text{NO}_2^-$ and H_2S , and combination with nitroglycerin and sodium hydrosulfide increase these parameters. Deoxygenation due to ozone reduces parameters of lipid peroxidation (malonic dialdehyde, diene conjugates), retinol and α -tocopherol, and the same result in the nitroglycerin group. **Conclusion.** Under hypoxic conditions, a decrease in the effect of ozone on oxygen-dependent processes is reported. Nitroglycerin reduces its manifestation, while sodium hydrosulfide does not have a similar effect.

Keywords: ozone, erythrocytes, microcirculation, gaseous transmitters, nitrogen monoxide, hydrogen sulfide, hypoxia

For citation: Zinchuk V. V., Biletskaya E. S. Features of ozone effect on oxygen-dependent processes in the blood under hypoxic conditions. Regional hemodynamics and microcirculation. 2021;20(3):70–76. Doi: 10.24884/1682-6655-2021-20-3-70-76.

Введение

Важным аспектом исследования микрогемоциркуляции является понимание того, как характеристики крови и микрореологическое поведение ее клеточных элементов обеспечивают транскапиллярный обмен и поступление кислорода (O_2) в ткани [1]. Изучение закономерностей изменений содержания O_2 в комплексе с параметрами микрогемодинамики представляется перспективным и необходимым для разработки патогенетически обоснованных индивидуализированных протоколов коррекции пациентов с гипоксическим синдромом [2]. Эритроциты, являясь переносчиками O_2 в организме, также участвуют в регуляции сосудистого тонуса в системе микроциркуляции, выступая в качестве сенсора для регуляции микрососудистого компонента [1], в то же время газотрансмиттеры эндотелиального происхождения оказывают влияние на кислородтранспортную функцию (КТФ) крови [3]. Одним из основных факторов на микроциркуляторном русле, влияющим на насыщение тканей кислородом, является изменение сродства к нему гемоглобина [4].

В последние годы озон (O_3) активно используется для улучшения процессов микроциркуляции ишемизированных тканей. Озонотерапия аутологичной крови широко применяется для лечения пациентов с нарушением периферического кровообращения [5]. Данный эффект O_3 может быть связан, как ранее нами было показано, с тем, что происходит изменение КТФ крови, проявляющееся в увеличении pO_2 , SO_2 и уменьшении сродства гемоглобина к кислороду (СГК), выраженностъ которых усиливается с повышением концентрации озона и сопровождается ростом нитрат/нитритов, сероводорода в плазме [1]. Кроме того, озон оказывает влияние на прооксидантно-антиоксидантный баланс, что проявляется в увеличении содержания диеновых конъюгатов (ДК), малонового диальдегида (МДА) в эритроцитарной массе, ретинола, α -токоферола, активности каталазы [7–9].

Озон также может индуцировать продукцию монооксида азота (NO) и улучшать реологические свойства крови [10]. NO-генерирующая система участвует в эффекте O_3 на КТФ крови [11]. В связи с этим особый интерес вызывает изучение эффектов озона при различных кислородных режимах и участии системы газотрансмиттеров (NO, H_2S).

Цель исследования – изучение эффектов озона на кислородзависимые процессы крови в гипоксических условиях в опытах *in vitro* при введении доноров газотрансмиттеров.

Материалы и методы исследования

На образцах крови, забранных от белых беспородных крыс-самцов массой 250–300 г, предварительно содержащихся в стандартных условиях вивария, проводили эксперименты *in vitro*. Забор смешанной венозной крови осуществляли, используя адекватный наркоз (50 мг/кг тиопентала натрия интраперитонально), из правого предсердия в предварительно подготовленный шприц с гепарином, из расчета 50 ЕД на 1 мл крови. Исследование проводилось в соответствии рекомендациями Комитета по биомедицинской этике и деонтологии учреждения образования «Гродненский

Схема эксперимента в условиях дезоксигенации

(5,5 % CO_2 ; 94,5 % N_2)



Рис. 1. Схема эксперимента

Fig. 1. Design of the experiment

государственный медицинский университет», протокол № 1 от 14 января 2019 г.

Образцы крови ($n=10$) разделяли на 6 групп по 3 мл (рис. 1). Применялась концентрация озона 6 мг/л. Изотонический раствор барбатировали озоно-кислородной смесью при помощи озонотерапевтической установки УОТА-60-01-Медозон (Россия), в которой предусмотрено измерение концентрации озона оптическим методом в ультрафиолетовом диапазоне.

В первую контрольную группу добавляли 1,1 мл изотонического раствора хлорида натрия.

Кровь 2-й группы обрабатывали дезоксигенирующей газовой смесью (5,5 % CO_2 ; 94,5 % N_2) в термостатируемом сатураторе на протяжении 30 мин и добавляли 1,1 мл изотонического раствора хлорида натрия.

В кровь 3-й группы добавляли озонированный изотонический раствор хлорида натрия в объеме 1 мл и 0,1 мл изотонического раствора хлорида натрия.

Кровь 4-й группы дезоксигенировали и добавляли озонированный изотонический раствор хлорида натрия в объеме 1 мл и 0,1 мл изотонического раствора хлорида натрия.

Производили обработку дезоксигенирующей газовой смесью крови 5-й группы и добавляли озонированный изотонический раствор хлорида натрия в объеме 1 мл и 0,1 мл раствора, содержащего нитроглицерин в конечной концентрации 0,05 ммоль/л (*SchwarzPharma AG*).

Кровь 6-й группы также подвергали дезоксигенации и добавляли озонированный изотонический раствор хлорида натрия в объеме 1 мл и 0,1 мл раствора, содержащего гидросульфид натрия в конечной концентрации 0,38 ммоль/л (*Sigma-Aldrich*).

Каждую пробу перемешивали и инкубировали на протяжении 60 мин.

На газоанализаторе Stat Profile pHOx plus L (США) при 37 °C в крови определяли следующие показатели КТФ: парциальное давление кислорода (pO_2), степень оксигенации (SO_2) и кислотно-основного состояния – парциальное давление углекислого газа (pCO_2), стандартный бикарбонат (SBC), реальный/стандартный недостаток (избыток) буферных оснований (ABE/SBE), гидрокарбонат (HCO_3^-), концентрацию

Эффект озона на кислородтранспортную функцию крови при добавлении доноров газотрансмиттеров в гипоксических условиях (Me [25; 75])

Table 1

Effect of ozone and its combination with gaseous transmitters donors on oxygen transport in the blood under hypoxic conditions (Me [25; 75])

Показатель	Контроль	Дезоксигенация	Озон	Дезоксигенация + озон	Дезоксигенация + нитроглицерин + озон	Дезоксигенация + NaHS + озон
n	10	10	10	10	10	10
SO ₂ , %	31,4 [25,3; 31,7]	18,10 [15,20; 23,10]*	33,30 [33,10; 36,30]*#	28,00 [24,10; 32,40]*Ψ	33,85 [32,80; 36,10]*#\$	23,50 [18,4; 28,00]*Ω
pO ₂ , мм рт. ст.	20,5 [18,8; 20,7]	14,85 [14,30; 15,00]*	24,90 [23,70; 26,60]*#	21,00 [18,80; 23,20]*Ψ	24,35 [20,90; 33,90]*#\$	20,75 [16,40; 22,10]*ΨΩ
pH, ед.	7,417 [7,411; 7,418]	7,286 [7,261; 7,304]*	7,431 [7,417; 7,470]*#	7,285 [7,264; 7,302]*Ψ	7,287 [7,268; 7,323]*Ψ	7,277 [7,237; 7,287]*Ψ
pCO ₂ , мм рт. ст.	34,2 [31,7; 36,8]	57 [54,60; 59,10]*	28,45 [25,30; 34,20]*#	54,35 [51,00; 58,90]*Ψ	51,80 [50,40; 53,70]*#Ψ	54,20 [49,60; 56,40]*Ψ
HCO ₃ ⁻ , ммоль/л	21,6 [20; 22,3]	28,20 [26,50; 29,60]*	20,55 [20,30; 21,50]*#	26,35 [25,70; 26,70]*#Ψ	25,25 [23,30; 26,50]*#Ψ\$	27,05 [26,60; 28,60]*ΨΩ
TCO ₂ , ммоль/л	21,9 [21; 23,4]	30,05 [28,10; 31,40]*	20,8 [20,60; 22,40]*#	28,00 [27,40; 28,30]*#Ψ	26,85 [24,90; 28,40]*#Ψ	28,45 [27,90; 29,90]*Ψ
ABE, ммоль/л	-3,2 [-3,8; -2,3]	0,10 [-0,20; 0,80]*	-4 [-4,70; -3,60]*#	-0,60 [-1,20; 0,30]*Ψ	-1,55 [-3,80; -1,00]*#Ψ\$	0,20 [-0,10; 0,80]*ΨΩ
SBE, ммоль/л	-1,8 [-2,4; -1,2]	0,65 [0,30; 1,00]*	-3,05 [-3,60; -2,30]*#	-0,20 [-0,70; 0,50]*#Ψ	-1,20 [-3,00; -0,90]*#Ψ\$	0,60 [0,20; 1,30]*ΨΩ
SBC, ммоль/л	21,7 [21,2; 22,1]	24,55 [24,00; 26,00]*	21,60 [21,20; 22,20]*#	23,40 [22,90; 24,20]*#Ψ	22,10 [20,90; 22,40]*#\$	23,80 [23,30; 24,40]*ΨΩ
p50 _{peak} , мм рт. ст.	26,8 [25,5; 27,9]	22,16 [19,52; 24,29]*	30,95 [26,74; 38,60]*#	26,44 [25,27; 27,58]*Ψ	31,45 [30,62; 38,97]*#\$	25,14 [24,53; 30,08]*ΨΩ
p50 _{станд} , мм рт. ст.	26,5 [25,4; 27,7]	21,60 [21,00; 23,80]*	31,45 [26,70; 36,60]*#	24,50 [24,00; 26,10]*#Ψ	27,10 [26,90; 35,30]*#\$	23,10 [22,10; 23,60]*\$ΨΩ

Причина: здесь и далее изменения в сравнении с группами: * – контрольной; # – дезоксигенация; Ψ – озон; \$ – дезоксигенация + озон; Ω – дезоксигенация + нитроглицерин + озон.

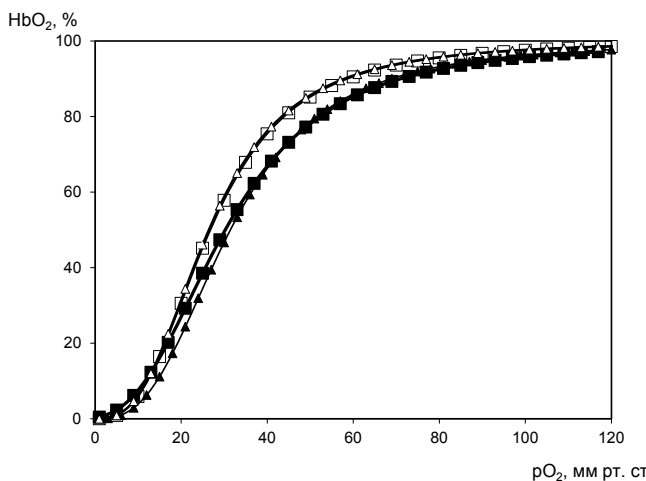


Рис. 2. Эффект озона на положение кривой диссоциации оксигемоглобина при реальных значениях pH и pCO₂ в гипоксических условиях: □ – контроль; ■ – озон; △ – дезоксигенация + озон; ▲ – дезоксигенация + нитроглицерин + озон

Fig. 2. Effect of ozone on the oxyhemoglobin dissociation curve at real pH and pCO₂ values under hypoxic conditions: □ – control; ■ – ozone; △ – deoxygenation + ozone, ▲ – deoxygenation + nitroglycerin + ozone

водородных ионов (pH), общую углекислоту плазмы крови (TCO₂). Сродство гемоглобина к кислороду оценивали спектрофотометрическим методом по показателю p50_{peak} (pO₂ крови при 50 %-м насыщении

ее кислородом). По формулам Severinghaus [12] рассчитывали значение p50_{станд} и положение кривой диссоциации оксигемоглобина (КДО).

Активность свободнорадикальных процессов оценивали по содержанию первичных (ДК) и промежуточных (МДА) продуктов перекисного окисления липидов. Уровень ДК в эритроцитарной массе определяли по интенсивности поглощения липидным экстрактом монохроматического светового потока в области спектра 232–234 нм, характерного для конъюгированных диеновых структур гидроперекисей липидов [16]. Оптическую плотность измеряли на спектрофлуориметре СМ 2203 «Солар» (Беларусь) при длине волны 233 нм по отношению к контролю. Концентрацию ДК выражали в виде ЕД/мл. Содержание МДА (ТБК-реагирующих продуктов) оценивали по взаимодействию с ТБК, которая при высокой температуре в кислой среде приводит к образованию триметинового комплекса розового цвета [17]. Интенсивность окраски измеряли спектрофотометрически на спектрофотометре PV1251C «Солар» (Беларусь) при длине волны 540 нм, по отношению к контролю. Концентрацию МДА выражали в мкмоль/л.

Активность каталазы оценивали по способности пероксида водорода образовывать с солями молибдена стойко окрашенный комплекс при длине волны 410 нм на спектрофотометре PV1251C «Солар»

Эффект озона на показатели прооксидантно-антиоксидантного баланса крови при добавлении доноров газотрансмиттеров в гипоксических условиях (Me [25; 75])

Table 2

Effect of ozone with gaseous transmitters donors on parameters of the prooxidant-antioxidant balance of the blood under hypoxic conditions (Me [25; 75])

Показатель	Контроль	Дезоксигенация	Озон	Дезоксигенация + озон	Дезоксигенация + нитроглицерин + озон	Дезоксигенация + NaHS + озон
n	10	10	10	10	10	10
МДАэр, мкмоль/л	4,86 [4,25; 5,77]	5,52 [5,39; 5,84]	16,63 [16,04; 17,10]*#	13,36 [11,00; 13,58]*#Ψ	12,75 [12,31; 13,05]*#Ψ	13,59 [10,78; 14,99]*#
ДКэр, ЕД/мл	18,15 [17,34; 18,56]	18,20 [16,99; 21,39]	22,85 [20,20; 26,82]*	18,82 [18,22; 19,63]Ψ	17,39 [15,48; 21,12]Ψ	18,86 [15,84; 22,24]
Каталаза, ммоль Н ₂ O ₂ /мин/г Hb	10,56 [10,25; 10,87]	11,18 [10,71; 16,35]	13,98 [13,24; 14,21]*	14,87 [13,85; 16,08]*	15,73 [14,13; 16,57]*Ψ	15,50 [14,48; 17,21]*Ψ
Ретинол, мкмоль/л	0,84 [0,81; 0,87]	0,89 [0,86; 0,91]	1,06 [0,95; 1,12]*#	0,83 [0,76; 0,93]Ψ	0,87 [0,77; 0,94]	0,85 [0,74; 0,97]
α-токоферол, мкмоль/л	8,34 [7,95; 8,65]	8,85 [8,17; 10,05]	14,83 [12,72; 17,34]*#	10,72 [10,27; 12,62]*#Ψ	10,76 [10,55; 13,75]*#Ψ	10,94 [10,27; 12,06]*#Ψ

(Беларусь) [17]. Концентрацию α-токоферола и ретинола определяли по методу S. L. Taylor [18], основанному на определении интенсивности флуоресценции гексанового экстракта при длине волны возбуждения 286 нм и испускания 350 нм (для α-токоферола) и при длине волны возбуждения 325 нм и испускания 470 нм (для ретинола) на спектрофлуориметре СМ 2203 «Солар» (Беларусь). В контрольную пробу вместо исследуемого материала вносили аликвоту бидистиллированной воды, а в стандартную – рабочего раствора, приготовленного из стандартов α-токоферола и ретинола (*Sigma*). Концентрацию α-токоферола и ретинола выражали в мкмоль/л.

Производство эндогенного NO оценивали по суммарному содержанию нитрат/нитритов (NO₃⁻/NO₂⁻) в плазме крови спектрофотометрическим методом с реагентом Грисса при длине волны 540 нм [19]. Уровень эндогенного сероводорода (H₂S) в плазме крови определяли спектрофотометрическим методом, основанном на реакции между сульфид-анионом и раствором N,N-диметил-парафенилендиамина солянокислого в присутствии хлорного железа при длине волны 670 нм [20]. Концентрацию газотрансмиттеров рассчитывали по калибровочным графикам и результаты выражали в мкмоль/л.

Все показатели проверяли на соответствие признака закона нормального распределения с использованием критерия Шапиро – Уилка. С учетом этого была использована непараметрическая статистика с применением программы «Statistica 10.0». Сравнение трех и более независимых групп проводили с помощью рангового дисперсионного анализа Крускала – Уоллиса. Достоверность полученных данных, с учетом размеров малой выборки, множественных сравнений, оценивали с использованием U-критерия Манна – Уитни. При проведении парных сравнений уровней показателей внутри групп при повторных измерениях использовали критерий Вилкоксона. Результаты представлены как медиана (Me), 25-й и 75-й квартильный размах. Уровень статистической значимости принимали за p<0,05.

Результаты исследования и их обсуждение

Характер изменения показателей КТФ крови в условиях влияния озона и обработки дезоксигенирующей газовой смесью приведены в табл. 1.

Действие озона приводит к росту основных показателей, отражающих транспорт кислорода кровью. Проделание предварительной дезоксигенации способствует снижению эффекта O₃ на следующие показатели: рO₂ – на 15,66 % (p<0,05), SO₂ – на 15,92 % (p<0,05) по сравнению с группой, в которой выполнялось только озонирование. Показатель СГК р50_{peak} при этом уменьшается на 14,57 % (p<0,05), отражая сдвиг КДО влево (рис. 2) и приближая ее к значениям контрольной группы.

Также наблюдается снижение р50_{станд} на 22,1 % (p<0,05). Добавление нитроглицерина препятствует проявлению данного эффекта и характеризуется ростом рO₂, SO₂, р50_{peak} и р50_{станд} сдвигом КДО вправо (рис. 2), а гидросульфида натрия подобным эффектом не обладает. В группе дезоксигенации наблюдается снижение всех показателей КТФ крови по сравнению с контролем.

Параметры прооксидантно-антиоксидантного баланса приведены в табл. 2. Инкубация крови с озонированным изотоническим раствором хлорида натрия в условиях предварительной дезоксигенации характеризуется снижением содержания ДК, МДА, концентрации α-токоферола, ретинола в плазме по сравнению с группой, в которой выполнялось только озонирование, активность каталазы при этом не изменяется. Добавление нитроглицерина и гидросульфида натрия не вызывает значимых изменений данных показателей, за исключением каталазы, по сравнению с аликвотой, в которую вводили озон, предварительно дезоксигенировав. При дезоксигенации не наблюдается изменений параметров прооксидантно-антиоксидантного баланса по сравнению с контролем.

Содержание NO₃⁻/NO₂⁻ и H₂S в плазме крови под действием O₃ в условиях дезоксигенации возрастает на 28,57 % (p<0,05) и на 31,25 % (p<0,05) соответственно (рис. 3). Добавление нитроглицерина и гидросульфида натрия в условиях дезоксигенации приводит к еще

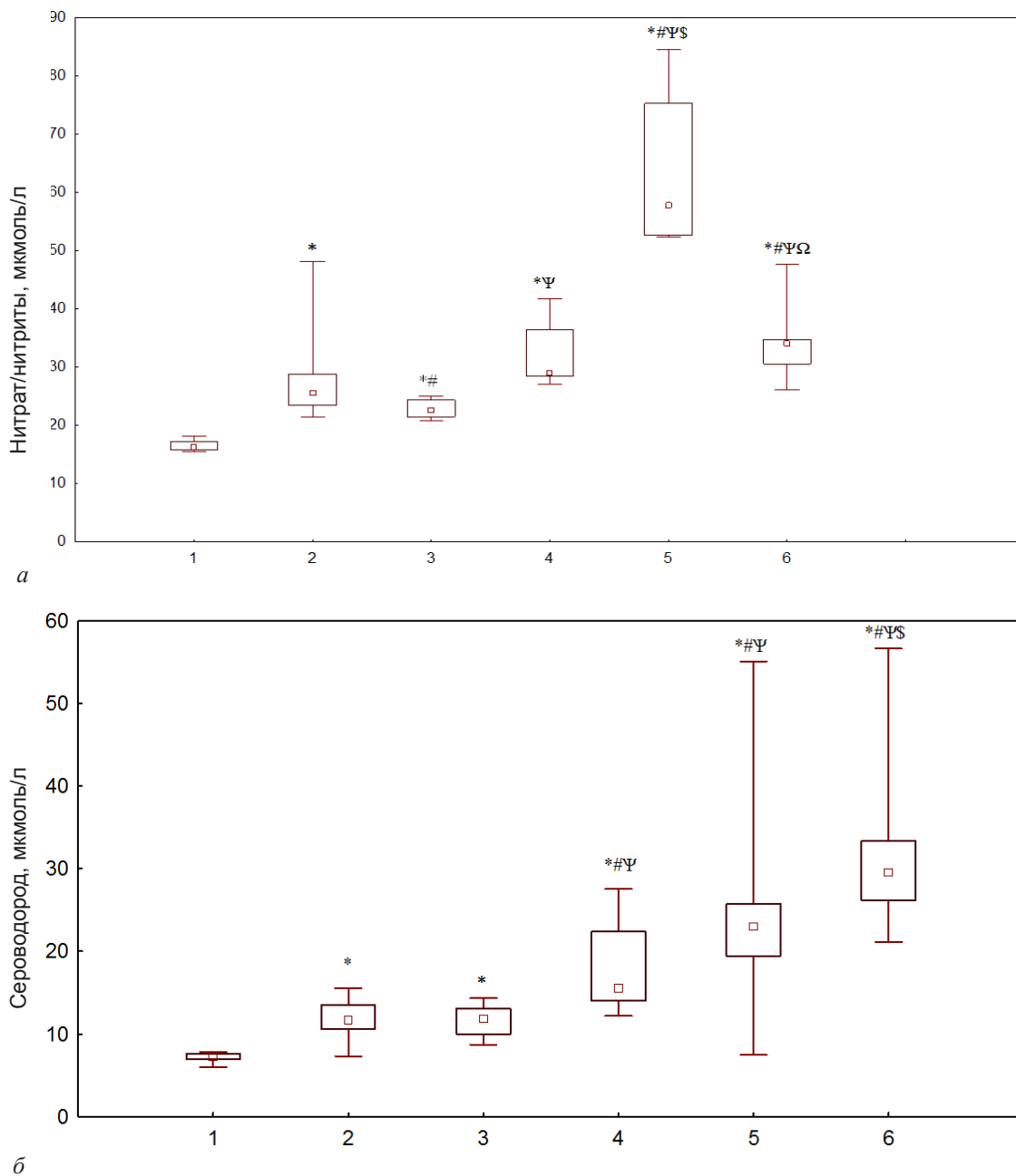


Рис. 3. Концентрация нитрат/нитритов (*а*) и сероводорода (*б*) в плазме крови в гипоксических условиях: 1–6 – экспериментальные группы; изменения по сравнению с группами * – контрольной; # – дезоксигенация + изотонический раствор; Ψ – озон; \$ – дезоксигенация + озон; Ω – дезоксигенация + нитроглицерин + озон

Fig. 3. Total content of nitrate/nitrite (A) and concentration of hydrogen sulfide (B) in blood plasma under hypoxic conditions: 1–6 – experimental groups; * – compared to control; # – deoxygenation + isotone. Solution: Ψ – ozone; \$ – deoxygenation + ozone; Ω – deoxygenation + nitroglycerin + ozone

более существенному росту $\text{NO}_3^-/\text{NO}_2^-$ – на 98,45 % ($p<0,05$) и на 17,38 % ($p<0,05$) соответственно. Уровень H_2S растет в группах с нитроглицерином и гидросульфидом натрия на 48,13 % ($p<0,05$) и на 90,22 % ($p<0,05$), соответственно по сравнению с группой озонирования в условиях дезоксигенации.

При гипоксии наблюдается ухудшение процессов тканевого транскапиллярного обмена кислорода, снижение возможностей микроциркуляторного русла для доставки кислорода в ткани [13]. Выявлены функциональные взаимосвязи различных компонентов регуляции микрогемодинамики и показателей КТФ крови при проведении гипоксического теста [14]. Озон значительно улучшает микроциркуляцию за счет повышения функциональной активности капил-

ляров, изменения физико-химических характеристик крови и, в частности, кислородсвязывающих свойств крови [15]. Как видим из проведенных опытов, отмечаются изменения КТФ крови под влиянием озона в гипоксических условиях и при добавлении доноров газотрансмиттеров. Ранее нами было показано, что инкубация крови с озоном и нитроглицерином (донором NO) приводит к усилению эффекта данного газа на КТФ крови (рост pO_2, SO_2), что приводит к уменьшению СГК и сопровождается ростом газотрансмиттеров ($\text{NO}, \text{H}_2\text{S}$) [11]. Данный факт свидетельствует о важной роли NO в автономной внутриэритроцитарной системе регуляции СГК, действие которого определяется параметрами кислородного обеспечения [21]. Кроме того, следует обратить внимание, что противогипок-

сическое действие O_3 реализуется, в том числе, за счет влияния на синтез монооксида азота [22], увеличения концентрации 2,3-дифосфоглицерата в эритроцитах, повышения пластичности мембран красных кровяных клеток и уменьшения вязкости крови [10].

NO обеспечивает адаптацию организма к изменениям р O_2 через влияние на механизмы формирования функционального статуса эритроцитов [23]. Кроме того, данный газотрансмиттер является основным регулятором тонуса сосудов и антиопротектором, что обуславливает его влияние на локальную микроциркуляцию [14]. Описаны сложные взаимоотношения между O_3 и группой ферментов NO-синтаз, генерирующих образование NO [10]. O_3 может активировать индуцирующую синтазу оксида азота, что приводит к росту концентрации последнего [23], а также восстанавливает NO_2^- при низких значениях pH [24]. В этих механизмах существует и другой газотрансмиттер сероводород. Эритроциты продуцируют эндогенный H_2S , используя в качестве субстрата 3-меркаптоциркуляцию [25]. Продукция H_2S в красных клетках крови зависит от уровня NO в сыворотке крови [26]. Взаимодействие доноров монооксида азота и сероводорода может иметь значение для модификации средства гемоглобина к кислороду через образование различных дериватов гемоглобина.

В наших исследованиях показана роль H_2S в эффекте озона на кислородзависимые процессы. H_2S участвует в защите от окислительного стресса, вызванного гипоксией [27]. Наблюдается увеличение данного газотрансмиттера в условиях дезоксигенации, а добавление нитроглицерина и гидросульфида натрия способствует еще более значительному его росту. В результате действия S-нитрозосоединений происходит трансформация молекул гемоглобина: окисление в их составе железа, нитрозилирование гема и, вероятно, SH-групп, что изменяет свойства гемопротеина, его способность связывать и удерживать кислород [28]. H_2S выполняет и антиоксидантные функции за счет модификаций активности ферментов, в том числе каталазы [29].

Заключение

Таким образом, предварительная обработка крови дезоксигенирующей газовой смесью уменьшает влияние озона на КТФ крови, что проявляется в снижении р O_2 , SO₂, p50 по сравнению с группой, в которую вводили только озон. Введение нитроглицерина препятствует проявлению данного эффекта, а гидросульфид натрия подобного действия не оказывает. Действие озона в данных условиях приводит к росту содержания NO_3^-/NO_2^- и H_2S , а добавление нитроглицерина и гидросульфида натрия существенно увеличивает эти показатели, что отражает участие данных газотрансмиттеров в модификации КТФ крови. В крови, обработанной дезоксигенирующей газовой смесью при добавлении озона, а также в группе с нитроглицерином наблюдается уменьшение показателей перекисного окисления липидов (МДА, ДК) и антиоксидантной защиты (ретинола и α-токоферола). Полученные результаты демонстрируют влияние озона на КТФ крови и синтез NO, что будет важно для понимания механизмов оксигенации тканей на микроциркуляторном уровне в гипоксических условиях.

Финансирование / Acknowledgments

Исследование выполнено при финансовой поддержке БРФБР и РФФИ в рамках научного проекта (№ М20Р-428 и № 20-515-00019). / The reported study was funded by BRFBR and RFBR, project number M20P-428 and 20-515-00019.

Конфликт интересов / Conflict of interests

Авторы заявляют об отсутствии конфликта интересов. / The authors declare no conflicts of interest.

Соответствие нормам этики / Compliance with ethical principles

Исследование одобрено локальным этическим комитетом. / The study was approved by the local ethics committee.

Литература / References

1. Муравьев А. В., Михайлова П. В., Тихомирова И. А. Микроциркуляция и гемореология: точки взаимодействия // Регионарное кровообращение и микроциркуляция. – 2017. – Т. 16, № 2. – С. 90–100. [Muravyov AV, Mikhailov PV, Tikhomirova IA. Microcirculation and Hemorheology: points of interaction // Regional blood circulation and microcirculation. –2017;16(2):90–100. (In Russ.)]. Doi: 10.24884/1682-6655-2017-16-2-90-100.
2. Долганова Т. И., Шихалева Н. Г., Щудло Н. А. Динамика парциального давления газов и микроциркуляции в коже несвободных кожно-фасциальных лоскутов с осевым кровоснабжением после их транспозиции // Регионарное кровообращение и микроциркуляция. – 2012. – Т. 11, № 4. – С. 18–22. [Dolganova TI, Shikhaleva NG, Chtchoudlo NA. The dynamics of gases partial pressure and microcirculation in the axial flaps skin after transposition // Regional blood circulation and microcirculation. 2012;11(4):18–22. (In Russ.)]. Doi: 10.24884/1682-6655-2012-11-4-18-22.
3. Зинчук В. В. Кислородтранспортная функция крови и газотрансмиттер сероводород // Успехи физиолог. наук. – 2021. – Т. 52, № 3. – С. 21–35. [Zinchuk VV. Oxygen transport functions of blood and hydrogen sulfide gazotransmitter // Usp Fiziol Nauk. 2021; 52(3):21–35. (In Russ.)].
4. Абулдинов А. С. Особенности кислородтранспортной функции крови у беременных с внебольничной пневмонией (обзор литературы) // Бюлл. физиологии и патологии дыхания. – 2020. – № 75. – С. 126–136. [Abul'dinov AS. Bulletin Physiology and Pathology of Respiration. 2020;(75):126–136. (In Russ.)]. Doi: 10.36604/1998-5029-2020-75-126-136.
5. Wang WJ, Zhan Y, Zhang DY. Research progress in treatment and nursing of vascular crisis after replantation of severed finger // J of Traumatic Surgery. 2016;(18):572–574.
6. Зинчук В. В., Билецкая Е. С. Эффект озона на кислородтранспортную функцию крови при различных режимах воздействия в опытах *in vitro* // Биофизика. – 2020. – Т. 65, № 5. – С. 915–919. [Zinchuk VV, Bileczkaya ES. Different ozone dosage effects on oxygen transport in blood, *in vitro* experiments. Biophizika. 2020;65(5):915–919. (In Russ.)]. Doi: 10.31857/S0006302920050099.
7. Зинчук В. В., Билецкая Е. С., Гуляй И. Э. Эффекты озона на кислотно-основное состояние крови в опытах *in vitro* // Новости медико-биологических наук. – 2018. – Т. 17, № 2, – С. 40–44. [Zinchuk VV, Bileczkaya ES, Gulyaj IE. Effect of ozone on the prooxidant-antioxidant balance in the blood *in vitro* studies. Novosti mediko-biologicheskix nauk. 2018; 17(2):40–44. (In Russ.)].

8. Mehraban F, Seyedarabi A, Ahmadian S, Mirzaaghaei V, Moosavi-Movahedi AA. Personalizing the safe, appropriate and effective concentration(s) of ozone for a non-diabetic individual and four // J Transl Med. 2019;17(1):227. Doi: 10.1186/s12967-019-1973-5.
9. Adali Y, Eroğlu HA, Makav M, Guvendi GF. Efficacy of Ozone and Selenium Therapy for Alcoholic Liver Injury: An Experimental Model // In Vivo. 2019;33(3):763–769. Doi: 10.21873/invivo.11537.
10. Clavo B, Santana-Rodríguez N, Llontop P, Gutiérrez D, Suárez G, López L, Rovira G, Martínez-Sánchez G, González E, Jorge IJ, Perera C, Blanco J, Rodríguez-Esparagán F. Ozone Therapy as Adjuvant for Cancer Treatment: Is Further Research Warranted // Evid Based Complement Alternat Med. 2018;7931849. Doi: 10.1155/2018/7931849.
11. Зинчук В. В., Билемская Е. С. Эффект озона на кислородтранспортную функцию и прооксидантно-антиоксидантный баланс крови в условиях воздействия на NO-генерирующую систему в опытах *in vitro* // Рес. физиол. журн. им. И. М. Сеченова. – 2021. – Т. 107, № 1. – С. 16–27. [Zinchuk VV, Biletskaya ES, Gulyaj IE. Effect of ozone on blood oxygen transport function and pro-oxidant-antioxidant balance in under conditions of changing nitrogen monoxide formation *in vitro* experiments // Russian Journal of Physiology. 2021;107(1):16–27. (In Russ.)]. Doi: 10.31857/S0869813921010106.
12. Severinghaus JW. Blood gas calculator // J. Appl. Physiol. 1966;21(5):1108–1116. Doi: 10.1152/jappl.1966.21.3.1108.
13. Сабиров И. С., Мамедова К. М., Султанова М. С. и др. Роль и значение гипоксического компонента в развитии осложнений новой коронавирусной инфекции (COVID-19) // The Scientific Heritage. – 2021. – № 62. – С. 21–28. [Sabirov I, Mamedova K, Sultanova M, Kozhoeva M, Ibadullaev B. The role and significance of the hypoxic component in the development of complications of the new coronavirus infection (COVID-19). 2021;(62):21–28. (In Russ.)]. Doi: 10.24412/9215-0365-2021-62-2-21-28.
14. Глазачев О. С., Дудник О. С. Особенности реактивности сосудов микроциркуляторного русла практически здоровых людей при моделировании острой умеренной гипоксии и гипероксии // Физиология человека. – 2013. – Т. 39, № 4. – С. 400–406. [Glazachev OS, Dudnik EN. Microcirculatory reactivity features in apparently healthy individuals during acute moderate hypoxia and hyperoxia modeling. – 2013. 37(4):400–406. (In Russ.)]. Doi: 10.7868/S0131164613030089.
15. He S, Chen W, Xia J, Lai Z, Yu D, Yao J, Cai S. Effects of ozone autohemotherapy on blood VEGF, TGF- β and PDGF levels after finger replantation // Ann Palliat Med. 2020;9(5):3332–3339. Doi: 10.21037/apm-20-1467.
16. Гаврилов В. Б., Мишкорудная М. И. Спектрофотометрическое определение содержания гидроперекисей липидов в плазме крови // Лаб. дело. – 1983. – № 3. – С. 33–36. [Gavrilov VB, Mishkorudnaya MI. Spectrophotometric determination of the content of lipid hydroperoxides in blood plasma. Lab. Delo. – 1983;(3):33–36. (In Russ.)].
17. Камышников В. С. Справочник по клинико-биохимической лабораторной диагностике. – 2-е изд. – Минск, 2002. – С. 465. [Kamyshnikov VS. Handbook of clinical and biochemical laboratory diagnostics. Minsk. 2002:465].
18. Taylor SL, Lamden MP, Tappel AL. Sensitive fluorometric method for tissue tocopherol analysis // Lipids. 1976;11(7):530–538. Doi: 10.1007/BF02532898.
19. Bryan NS, Grisham MB. Methods to detect nitric oxide and its metabolites in biological samples // Free Radic. Biol. Med. 2007;43(5):645–657. Doi: 10.1016/j.freeradbiomed.2007.04.026.
20. Norris EJ, Culberson CR, Narasimhan S, Clemens MG. The liver as central regulator of hydrogen sulfide. Shock. 2011; 36(3):242–250. Doi: 10.1097/SHK.0b013e3182252ee7.
21. Зинчук В. В. Степуро Т. Л. Модификация оксида азота сродства гемоглобина к кислороду в различных условиях кислородного режима // Рес. физиол. журн. им. И. М. Сеченова. – 2013. – Т. 99, № 1. – С. 111–119. [Zinchuk VV, Stepuro TL. Nitric oxide modification of hemoglobin oxygen affinity in different conditions of oxygen regime // Russian Journal of Physiology. 2013;99(1):111–119 (In Russ.)].
22. Роль оксида азота в патофизиологии и лечении хронической обструктивной болезни легких / О. Ю. Кытикова, Т. А. Гвозденко, М. В. Антонюк, Т. П. Новгородцева // Бюлл. физиологии и патологии дыхания. – 2019. – № 71. – С. 105–111. [Kytikova OYu, Gvozdenko TA, Antonyuk MV, Novgorodtseva TP. The role of nitric oxide in pathophysiology and treatment of chronic obstructive pulmonary disease. Bulletin of physiology and pathology of respiration. 2019;(71):105–111. (In Russ.)]. Doi: 10.12737/article_5c89ab4f8523c5.66345570.
23. Zhao Y, Wang X, Noviana M, Hou M. Nitric oxide in red blood cell adaptation to hypoxia // Acta Biochim Biophys Sin (Shanghai). 2018;50(7):621–634. Doi: 10.1093/abbs/gmy055.
24. Jaitovich A, Jourd'heuil D. A Brief Overview of Nitric Oxide and Reactive Oxygen Species Signaling in Hypoxia-Induced Pulmonary Hypertension // Adv Exp Med Biol. 2017;(967):71–81. Doi: 10.1007/978-3-319-63245-2_6.
25. Jin Z, Zhang Q, Wondimu E, Verma R, Fu M, Shuang T, Arif HM, Wu L, Wang R. H2S-stimulated bioenergetics in chicken erythrocytes and the underlying mechanism // Am J Physiol Regul Integr Comp Physiol. 2020;319(1):69–78. Doi: 10.1152/ajpregu.00348.2019.
26. Zheng M, Zeng Q, Shi XQ, Zhao J, Tang CS, Sun NL, Geng B. Erythrocytic or serum hydrogen sulfide association with hypertension development in untreated essential hypertension // Chin Med J (Engl). 2011;124(22):3693–3701. PMID: 22340226.
27. Wu J, Pan W, Wang C, Dong H, Xing L, Hou J, Fang S, Li H, Yang F, Yu B. H2S attenuates endoplasmic reticulum stress in hypoxia-induced pulmonary artery hypertension // Biosci Rep. 2019;39(7):BSR20190304. Doi: 10.1042/BSR20190304.
28. Rifkind JM, Salgado MT, Cao Z. Regulation of oxygen delivery by the reaction of nitrite with RBCs under hypoxic conditions // Adv Exp Med Biol. 2012;(737):183–189. Doi: 10.1007/978-1-4614-1566-4_27.
29. Tabassum R, Jeong NY. Potential for therapeutic use of hydrogen sulfide in oxidative stress-induced neurodegenerative diseases // Int J Med Sci. 2019;16(10):1386–1396. Doi: 10.7150/ijms.36516.

Информация об авторах

Зинчук Виктор Владимирович – д-р мед. наук, профессор, зав. кафедрой нормальной физиологии, Гродненский государственный медицинский университет, г. Гродно, Республика Беларусь, e-mail: zinchuk@grsmu.by.

Билемская Елена Степановна – аспирант, ассистент кафедры нормальной физиологии, Гродненский государственный медицинский университет, г. Гродно, Республика Беларусь, e-mail: biletskaya.e@inbox.ru.

Authors information

Zinchuk Victor V. – Doctor of Medical Sciences, Professor, Head of the Department of Normal Physiology, Grodno State Medical University, Grodno, Republic of Belarus, e-mail: zinchuk@grsmu.by.

Biletskaya Elena S. – post-graduate student, assistant of the Department of Normal Physiology, Grodno State Medical University, Grodno, Republic of Belarus, e-mail: biletskaya.e@inbox.ru.